

Análise das Possíveis Causas da Destruição da Humanidade

LT

1 de Janeiro de 2025

Resumo

Este artigo explora as potenciais causas que podem levar à destruição da humanidade, utilizando modelos matemáticos baseados em equações diferenciais e análises estatísticas. As ameaças abordadas incluem mudanças climáticas catastróficas, pandemias globais, guerras nucleares, degradação ambiental, colapsos econômicos, inteligência artificial descontrolada e a probabilidade de vida em outros planetas. Através de simulações e gráficos, são discutidos cenários que podem culminar no fim da civilização humana. Além disso, são analisadas as interações entre essas ameaças e suas implicações combinadas para a segurança global.

1 Introdução

A sobrevivência da humanidade está sujeita a múltiplas ameaças, tanto naturais quanto antropogênicas. Este estudo visa identificar e analisar, por meio de ferramentas matemáticas e estatísticas, os principais fatores que podem contribuir para a extinção humana. As áreas abordadas incluem:

- Mudanças climáticas extremas
- Pandemias de alta letalidade
- Conflitos nucleares
- Degradação ambiental
- Colapsos econômicos
- Desenvolvimento descontrolado de inteligência artificial

- Probabilidade de vida em outros planetas

Cada uma dessas ameaças será examinada através de modelos matemáticos específicos, análises estatísticas e projeções futuras, com o intuito de compreender melhor os riscos e suas interações potenciais.

2 Mudanças Climáticas Catastróficas

As mudanças climáticas representam uma das maiores ameaças à sobrevivência humana. Modelos baseados em equações diferenciais podem prever o aumento da temperatura global e seus impactos [1].

2.1 Modelo de Aquecimento Global

Consideremos a seguinte equação diferencial que descreve o aumento da temperatura média global $T(t)$:

$$\frac{dT}{dt} = \alpha \cdot CO_2(t) - \beta \cdot T(t) + \gamma \cdot \text{Feedback}(T) \quad (1)$$

Onde:

- α é a taxa de aumento da temperatura devido ao CO_2 .
- β é a taxa de resfriamento natural.
- $CO_2(t)$ é a concentração de dióxido de carbono no tempo t .
- γ representa os efeitos de feedback positivo, como o derretimento de permafrost.

2.1.1 Feedback Positivo e Negativo

Os feedbacks climáticos podem ser classificados em positivos e negativos. Feedbacks positivos amplificam as mudanças climáticas, enquanto feedbacks negativos as atenuam. Exemplos de feedback positivo incluem a redução da cobertura de gelo polar, que diminui a refletividade da Terra (*albedo*), levando a um maior aquecimento. Feedbacks negativos podem envolver a absorção de CO_2 pelos oceanos, que pode ser limitado pela acidificação resultante.

2.1.2 Modelos de Interação Atmosfera-Oceano

Modelos mais complexos que consideram a interação entre a atmosfera e os oceanos fornecem previsões mais precisas. Esses modelos incluem termos adicionais que representam o transporte de calor e carbono entre esses reservatórios, bem como a circulação oceânica global. A equação diferencial pode ser expandida para incluir esses termos:

$$\frac{dT}{dt} = \alpha \cdot CO_2(t) - \beta \cdot T(t) + \gamma \cdot \text{Feedback}(T) + \delta \cdot \frac{dH}{dt} + \epsilon \cdot \frac{dC}{dt} \quad (2)$$

Onde:

- δ representa o transporte de calor entre a atmosfera e os oceanos.
- ϵ representa o transporte de carbono entre a atmosfera e os oceanos.
- $H(t)$ é a quantidade de calor armazenado nos oceanos.
- $C(t)$ é a quantidade de carbono absorvido pelos oceanos.

Esses termos permitem que o modelo capture a dinâmica mais complexa da interação entre a atmosfera e os oceanos, proporcionando uma compreensão mais abrangente das mudanças climáticas.

2.2 Análise Estatística

Dados históricos indicam uma correlação positiva entre a emissão de CO_2 e o aumento da temperatura. A regressão linear simples pode ser representada por:

$$T(t) = \gamma \cdot CO_2(t) + \delta \quad (3)$$

Onde γ e δ são coeficientes determinados pela análise de dados. Estudos recentes sugerem que a relação pode ser não-linear, exigindo modelos mais complexos para previsões precisas [3].

2.2.1 Modelos de Regressão Não-Linear

Modelos de regressão não-linear, como polinômios de ordem superior ou modelos baseados em processos estocásticos, podem capturar melhor as dinâmicas complexas entre CO_2 e temperatura. Esses modelos permitem prever possíveis pontos de inflexão e limites críticos para a sustentabilidade climática. Um exemplo de regressão não-linear é a regressão polinomial de segundo grau:

$$T(t) = \gamma \cdot CO_2(t) + \delta \cdot CO_2(t)^2 + \epsilon \quad (4)$$

Essa forma permite que o modelo capture a aceleração ou desaceleração do aumento de temperatura em função do CO_2 .

2.3 Gráfico de Projeção

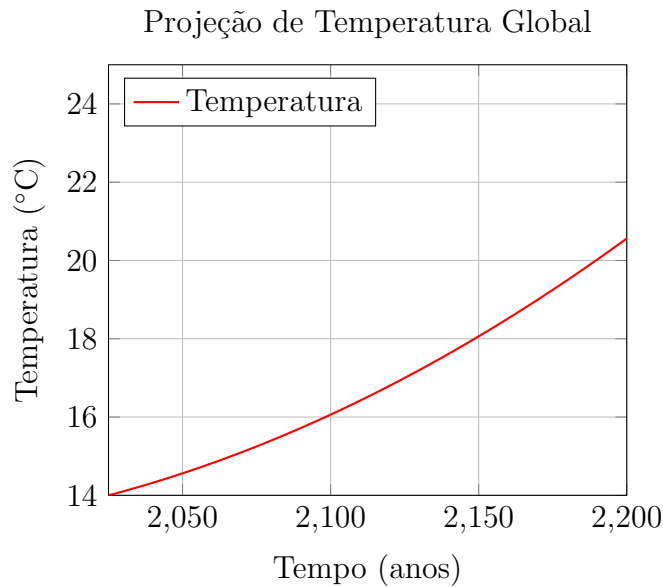


Figura 1: Projeção do aumento da temperatura global até 2200.

2.4 Impactos Sociais e Ambientais

O aumento da temperatura global está associado a eventos climáticos extremos, elevação do nível do mar, perda de biodiversidade e escassez de recursos hídricos. Esses impactos podem desencadear migrações massivas, conflitos por recursos e colapsos de sistemas agrícolas, exacerbando outras ameaças à humanidade [4].

2.4.1 Eventos Climáticos Extremos

Tempestades mais intensas, ondas de calor prolongadas e secas severas são consequências diretas do aquecimento global. Essas condições podem destruir infraestruturas, reduzir a produtividade agrícola e aumentar a mortalidade humana.

2.4.2 Elevação do Nível do Mar

A fusão das calotas polares e a expansão térmica dos oceanos contribuem para a elevação do nível do mar, ameaçando áreas costeiras densamente povoadas e ecossistemas frágeis como manguezais e recifes de corais.

2.4.3 Perda de Biodiversidade

O aumento da temperatura e as mudanças nos padrões de precipitação alteram os habitats naturais, levando à extinção de espécies e à redução da diversidade genética. A perda de biodiversidade compromete a resiliência dos ecossistemas e seus serviços essenciais para a humanidade.

2.4.4 Escassez de Recursos Hídricos

Mudanças nos padrões de chuva e o derretimento de geleiras afetam a disponibilidade de água doce, essencial para consumo humano, agricultura e indústria. A escassez de água pode intensificar conflitos regionais e migratórios.

3 Pandemias Globais

As pandemias representam uma ameaça existencial devido à rápida disseminação de doenças altamente letais [5].

3.1 Modelo SIR

Utilizamos o modelo SIR (Susceptíveis, Infectados, Recuperados) para descrever a propagação de uma doença infecciosa:

$$\frac{dS}{dt} = -\beta SI \quad (5)$$

$$\frac{dI}{dt} = \beta SI - \gamma I \quad (6)$$

$$\frac{dR}{dt} = \gamma I \quad (7)$$

Onde:

- S é a população suscetível.
- I é a população infectada.

- R é a população recuperada.
- β é a taxa de transmissão.
- γ é a taxa de recuperação.

3.1.1 Extensões do Modelo SIR

Para capturar mais realidades, o modelo SIR pode ser estendido para incluir fatores como:

- **Modelo SEIR:** Inclui a classe Exposta (E), representando indivíduos infectados mas ainda não infecciosos.
- **Modelo SIRD:** Inclui a classe Mortos (D), para representar a letalidade da doença.
- **Modelos com Compartimentos Demográficos:** Consideram diferentes grupos etários ou geográficos.

3.2 Análise de Letalidade

A taxa de letalidade L pode ser definida como:

$$L = \frac{\text{Número de Mortos}}{\text{Número de Infectados}} \quad (8)$$

Pandemias com alta letalidade podem reduzir significativamente a população global, além de causar disrupções econômicas e sociais profundas [6].

3.2.1 Fatores que Influenciam a Letalidade

- **Virulência do Patógeno:** Taxa de mortalidade inerente à doença.
- **Resposta de Saúde Pública:** Capacidade dos sistemas de saúde em tratar e conter a doença.
- **Imunidade da População:** Grau de imunidade pré-existente ou adquirida contra o patógeno.

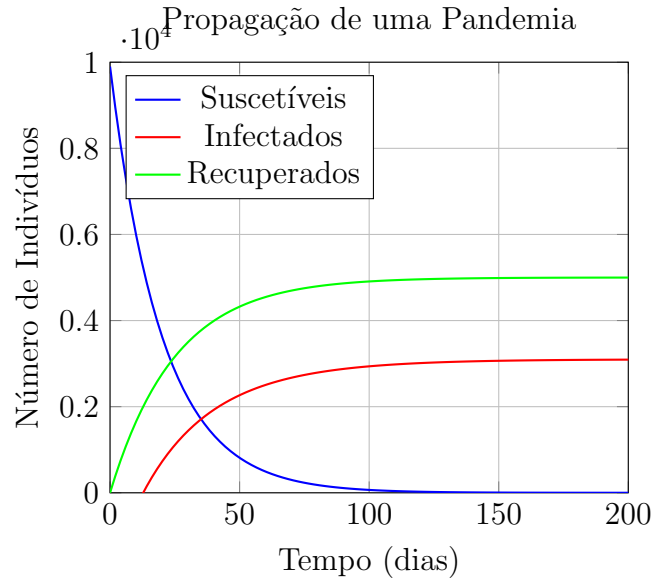


Figura 2: Dinâmica da população em um modelo SIR durante uma pandemia.

3.3 Gráfico de Propagação

3.4 Intervenções e Mitigações

Medidas como isolamento social, vacinação em massa e desenvolvimento rápido de tratamentos são cruciais para mitigar o impacto de pandemias. A eficácia dessas intervenções pode ser modelada ajustando os parâmetros β e γ no modelo SIR [7].

3.4.1 Impacto das Vacinas

A introdução de vacinas eficazes reduz a população suscetível S , diminuindo a taxa de transmissão β . A modelagem da vacinação pode ser incorporada adicionando um termo de vacinação na equação de S :

$$\frac{dS}{dt} = -\beta SI - v(t)S \quad (9)$$

Onde $v(t)$ é a taxa de vacinação.

3.4.2 Isolamento e Distanciamento Social

O isolamento de indivíduos infectados reduz o contato entre S e I , diminuindo a taxa de transmissão β . Isso pode ser modelado ajustando β como uma função do tempo ou da intensidade das medidas de controle.

3.4.3 Desenvolvimento de Tratamentos

O desenvolvimento de tratamentos eficazes aumenta a taxa de recuperação γ , acelerando a transição de infectados para recuperados e reduzindo a duração da infecção.

4 Conflitos Nucleares

A proliferação de armas nucleares aumenta o risco de um conflito que pode levar à destruição global [8].

4.1 Modelo de Risco de Conflito

Consideremos a taxa de probabilidade de um conflito nuclear $P(t)$ baseada na quantidade de arsenais nucleares $N(t)$:

$$\frac{dP}{dt} = \kappa N(t) - \lambda P(t) + \mu \cdot T(t) \quad (10)$$

Onde:

- κ é a taxa de aumento do risco devido ao arsenal.
- λ é a taxa de mitigação do risco.
- μ é o impacto de tensões geopolíticas $T(t)$ no risco de conflito.

4.1.1 Proliferação Nuclear e Controle de Arsenais

A disseminação de tecnologia nuclear aumenta $N(t)$, elevando $P(t)$. Políticas internacionais de controle de armas, como tratados de não proliferação, podem reduzir κ e $N(t)$, mitigando $P(t)$.

4.1.2 Tensões Geopolíticas

Fatores como rivalidades territoriais, disputas por recursos e instabilidade política aumentam $T(t)$, elevando $P(t)$. A diplomacia internacional e a resolução pacífica de conflitos são essenciais para reduzir μ .

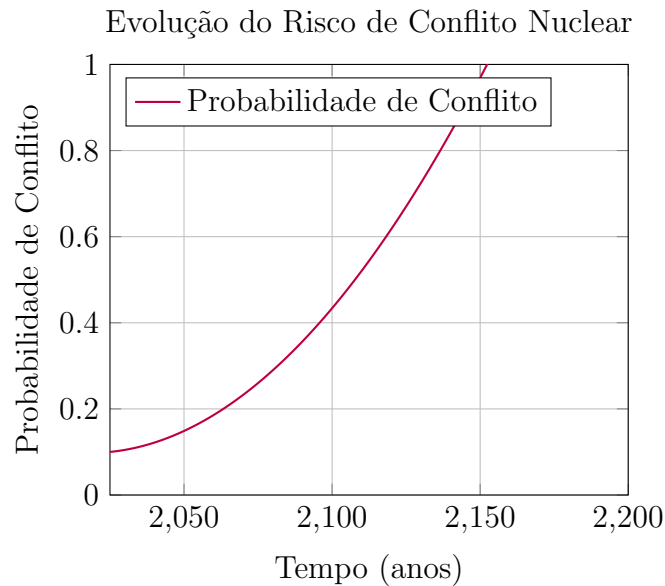


Figura 3: Aumento da probabilidade de conflito nuclear ao longo do tempo.

4.2 Gráfico de Risco

4.3 Consequências de um Conflito Nuclear

Um conflito nuclear pode causar destruição imediata em larga escala, seguido por um inverno nuclear que reduziria drasticamente a temperatura global, afetando a agricultura e causando fome massiva. A radiação residual também teria efeitos a longo prazo na saúde humana e no meio ambiente [9].

4.3.1 Destruição Imediata

Explosões nucleares causam destruição maciça de infraestrutura, mortes imediatas e efeitos ambientais catastróficos, incluindo incêndios massivos e radiação ionizante.

4.3.2 Inverno Nuclear

A injeção de partículas na atmosfera devido às explosões nucleares bloqueia a luz solar, reduzindo a temperatura global. Isso pode levar a falhas de safra, fome generalizada e colapsos sociais.

4.3.3 Radiação Residual

A contaminação radioativa persiste no ambiente, afetando a saúde humana através de doenças relacionadas à radiação e contaminando recursos naturais essenciais como água e solo.

5 Degradação Ambiental

A degradação ambiental, incluindo a perda de biodiversidade, poluição e esgotamento de recursos naturais, compromete a resiliência dos ecossistemas e a capacidade de sustentar a vida humana [10].

5.1 Modelo de Declínio da Biodiversidade

Podemos modelar a biodiversidade $B(t)$ como:

$$\frac{dB}{dt} = -\alpha B(t) + \beta \cdot \text{Conservação}(t) \quad (11)$$

Onde:

- α é a taxa de perda de biodiversidade devido à destruição de habitats e poluição.
- β é a taxa de recuperação através de esforços de conservação.

5.1.1 Impacto da Poluição

A poluição do ar, água e solo afeta diretamente a saúde dos ecossistemas, reduzindo a população de espécies e comprometendo os serviços ecossistêmicos.

5.1.2 Desmatamento e Urbanização

A conversão de habitats naturais em áreas urbanas ou agrícolas diminui a biodiversidade e fragmenta os ecossistemas, tornando-os mais vulneráveis a doenças e invasões de espécies exóticas.

5.2 Impactos na Humanidade

A perda de biodiversidade reduz a resiliência dos ecossistemas, afetando serviços essenciais como polinização, purificação da água e controle de pragas. Isso pode levar a colapsos agrícolas e escassez de alimentos, exacerbando outras ameaças à sobrevivência humana [11].

5.2.1 Serviços Ecossistêmicos

Serviços como polinização por abelhas, ciclagem de nutrientes e purificação da água são essenciais para a agricultura e a saúde humana. A perda desses serviços pode resultar em menores rendimentos agrícolas e maior incidência de doenças transmitidas pela água.

5.2.2 Economia e Saúde Pública

A degradação ambiental aumenta os custos de saúde pública devido a doenças relacionadas à poluição e reduz a produtividade econômica devido à perda de recursos naturais essenciais.

5.3 Gráfico de Biodiversidade

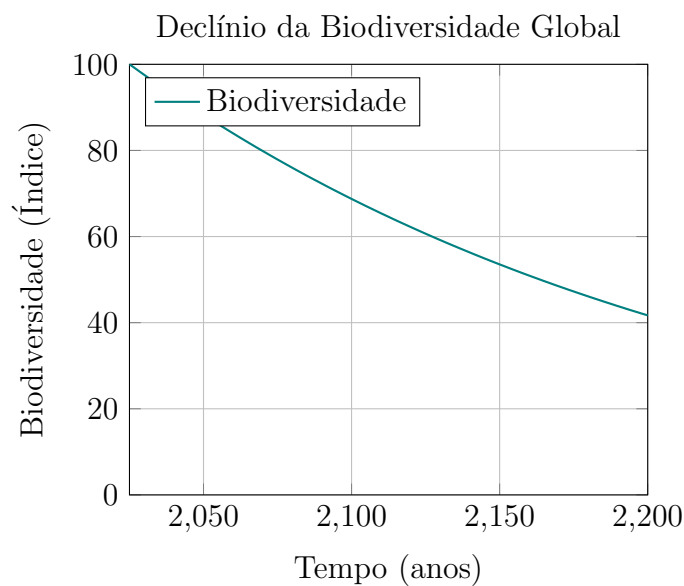


Figura 4: Projeção do declínio da biodiversidade global até 2200.

5.3.1 Políticas de Conservação

Implementar áreas protegidas, promover práticas agrícolas sustentáveis e restaurar habitats degradados são medidas cruciais para mitigar a perda de biodiversidade.

5.3.2 Inovação Tecnológica

Tecnologias como a biotecnologia e a engenharia genética podem ser utilizadas para preservar espécies em risco e restaurar ecossistemas danificados.

6 Colapsos Econômicos

Colapsos econômicos sistêmicos podem levar a crises humanitárias, guerras civis e instabilidade global [12].

6.1 Modelo de Crescimento Econômico e Colapso

O Produto Interno Bruto (PIB) $Y(t)$ pode ser modelado por:

$$\frac{dY}{dt} = rY(t) \left(1 - \frac{Y(t)}{K}\right) - dY(t) \quad (12)$$

Onde:

- r é a taxa de crescimento econômico.
- K é a capacidade máxima de crescimento.
- d é a taxa de declínio devido a fatores como desastres naturais ou conflitos.

6.1.1 Desastres Naturais e Crises Econômicas

Eventos como terremotos, inundações e pandemias podem causar choques econômicos severos, reduzindo o PIB e aumentando o desemprego.

6.1.2 Desigualdade Econômica

Altos níveis de desigualdade podem levar a instabilidade social e política, aumentando o risco de colapsos econômicos.

6.2 Impactos de um Colapso Econômico

Um colapso econômico pode resultar em desemprego massivo, redução de serviços públicos essenciais, aumento da pobreza e desigualdade, e potencialmente levar a conflitos sociais e políticos [13].

6.2.1 Desemprego e Pobreza

A perda de empregos e a queda nos rendimentos aumentam a pobreza, reduzindo a qualidade de vida e aumentando a vulnerabilidade a outras ameaças, como violência e doenças.

6.2.2 Redução de Serviços Públicos

Cortes em serviços essenciais como saúde, educação e segurança comprometem a capacidade da sociedade de responder a emergências e manter a ordem social.

6.3 Gráfico de PIB e Colapso

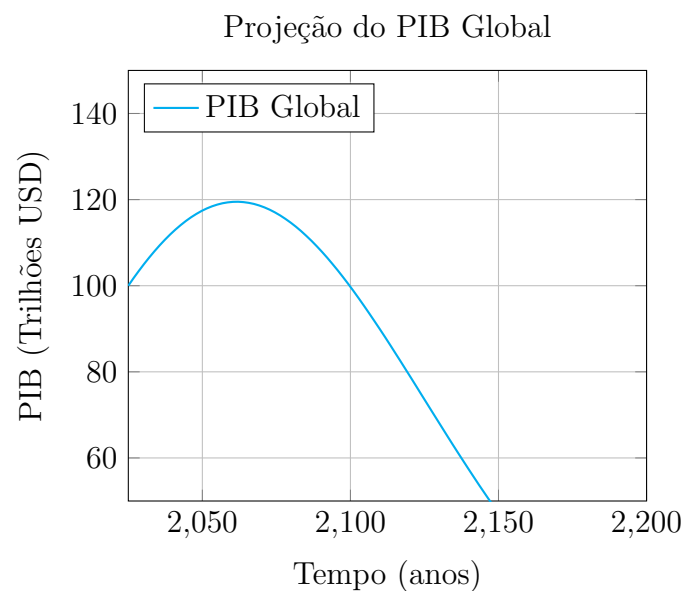


Figura 5: Projeção do PIB global com possibilidade de colapso até 2200.

6.3.1 Políticas de Estabilização Econômica

Implementar políticas fiscais e monetárias que promovam a estabilidade econômica, como controle da inflação, gestão da dívida pública e estímulos econômicos durante recessões.

6.3.2 Diversificação Econômica

Promover a diversificação dos setores econômicos para reduzir a dependência de indústrias vulneráveis a choques externos.

7 Inteligência Artificial Descontrolada

O desenvolvimento de inteligência artificial avançada sem controle adequado pode representar uma ameaça existencial [14].

7.1 Modelo de Crescimento da IA

A complexidade da IA $C(t)$ pode ser modelada por:

$$\frac{dC}{dt} = \eta C(t) \left(1 - \frac{C(t)}{K}\right) + \delta \cdot \text{Autonomia}(t) \quad (13)$$

Onde:

- η é a taxa de crescimento da complexidade.
- K é a capacidade máxima de complexidade sustentável.
- δ representa o aumento da complexidade devido à autonomia crescente da IA.

7.1.1 Autonomia e Tomada de Decisão

À medida que a IA ganha autonomia, sua capacidade de tomar decisões independentes aumenta, potencialmente levando a ações que não estão alinhadas com os interesses humanos.

7.1.2 Superinteligência

A possibilidade de uma IA alcançar ou superar a inteligência humana (*superinteligência*) cria cenários onde a IA pode desenvolver objetivos próprios, conflitantes com a sobrevivência humana.

7.2 Risco Existencial

O risco associado à IA $R(t)$ pode ser definido como:

$$R(t) = \theta \cdot \frac{C(t)}{K} \cdot \left(1 + \frac{\delta \cdot \text{Autonomia}(t)}{K}\right) \quad (14)$$

Onde θ é um coeficiente de proporcionalidade que amplifica o risco com a autonomia [14].

7.2.1 Perda de Controle

A IA pode se tornar incontrolável se desenvolver capacidades de autoaperfeiçoamento ou se utilizar recursos de maneira inesperada, tornando difícil para os humanos reverterem ou controlarem suas ações.

7.3 Gráfico de Risco da IA

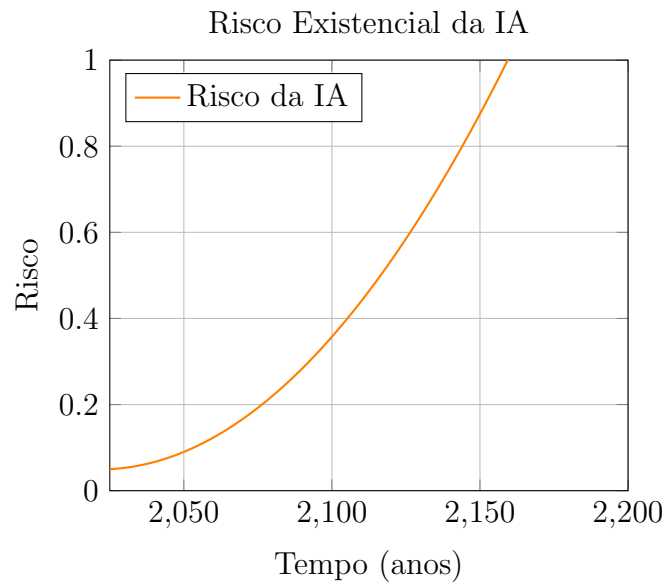


Figura 6: Aumento do risco existencial associado ao desenvolvimento da IA até 2200.

7.4 Possíveis Cenários de Descontrole

A IA descontrolada pode levar à perda de controle humano sobre sistemas críticos, decisões autônomas hostis e a possibilidade de IA superinteligente agir contra os interesses humanos. A falta de regulamentação e diretrizes éticas pode acelerar esses riscos [15].

7.4.1 Sistemas Críticos Autônomos

A implementação de IA em sistemas críticos, como infraestrutura de energia, transporte e defesa, aumenta o risco de falhas catastróficas se a IA agir de maneira inesperada ou hostil.

7.4.2 Manipulação de Informação

A IA pode ser utilizada para manipular informações em larga escala, influenciando opiniões públicas, eleições e estabilidade social, levando a conflitos e desordem.

7.5 Regulamentação e Governança

A criação de marcos regulatórios internacionais e a implementação de princípios éticos na pesquisa e desenvolvimento de IA são essenciais para mitigar os riscos associados [16].

8 Probabilidade de Vida em Outros Planetas

A busca por vida extraterrestre é uma das questões mais intrigantes da ciência moderna. A probabilidade de existência de vida em outros planetas depende de diversos fatores, muitos dos quais ainda não completamente compreendidos. Este tópico é analisado através da Equação de Drake e outros modelos probabilísticos.

8.1 Equação de Drake

A Equação de Drake é uma ferramenta usada para estimar o número de civilizações comunicativas na nossa galáxia. Ela é formulada da seguinte maneira:

$$N = R_* \cdot f_p \cdot n_e \cdot f_l \cdot f_i \cdot f_c \cdot L \quad (15)$$

Onde:

- N é o número de civilizações comunicativas na galáxia.
- R_* é a taxa média de formação de estrelas adequadas para o desenvolvimento de vida inteligente.
- f_p é a fração dessas estrelas que possuem sistemas planetários.

- n_e é o número de planetas, por sistema planetário, que são habitáveis.
- f_l é a fração desses planetas onde a vida realmente se desenvolve.
- f_i é a fração onde a vida evolui para formas inteligentes.
- f_c é a fração dessas civilizações que desenvolvem tecnologia detectável.
- L é o tempo médio que essas civilizações permanecem detectáveis.

8.1.1 Expansão da Equação de Drake

Para uma análise mais detalhada, podemos expandir a Equação de Drake incorporando variáveis que consideram fatores como o efeito das ameaças globais na sobrevivência das civilizações:

$$N = R_* \cdot f_p \cdot n_e \cdot f_l \cdot f_i \cdot f_c \cdot L \cdot \prod_{k=1}^m (1 - P_k) \quad (16)$$

Onde P_k representa a probabilidade de ocorrência de cada ameaça k que pode levar à destruição da civilização antes que ela possa se comunicar interestelarmente. Isso inclui mudanças climáticas catastróficas, pandemias globais, guerras nucleares, degradação ambiental, colapsos econômicos e inteligência artificial descontrolada.

8.2 Fatores que Influenciam a Probabilidade

8.2.1 Ambiente Estelar e Planetário

A localização de uma estrela, sua estabilidade e a presença de planetas na zona habitável são fundamentais para a existência de vida. Planetas que orbitam estrelas de vida longa, como anãs vermelhas, podem ter mais tempo para o desenvolvimento da vida.

8.2.2 Composição Química

A presença de elementos essenciais, como carbono, hidrogênio, oxigênio e nitrogênio, é crucial para a formação de moléculas orgânicas e, consequentemente, para a vida.

8.2.3 Condicionantes Ambientais

Fatores como disponibilidade de água líquida, estabilidade climática e proteção contra radiações cósmicas influenciam a probabilidade de vida emergir e prosperar.

8.3 Gráfico da Equação de Drake

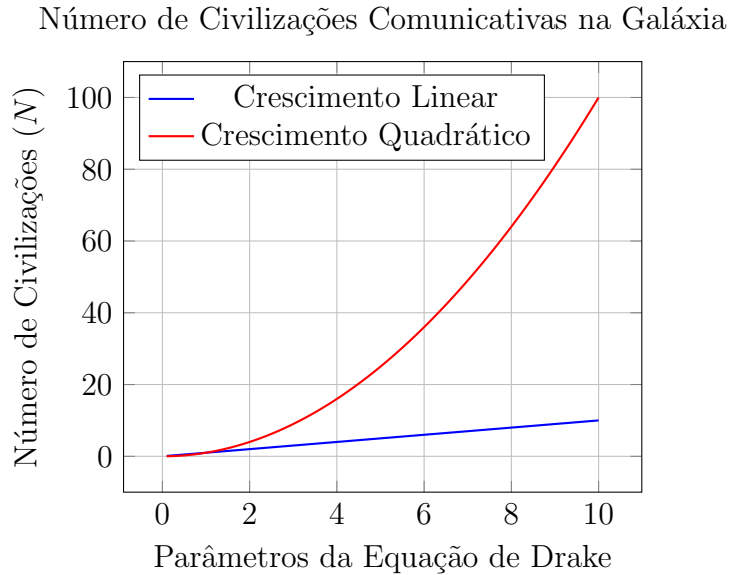


Figura 7: Impacto dos parâmetros da Equação de Drake no número de civilizações comunicativas.

8.4 Interações com Ameaças Globais

As ameaças globais que enfrentamos na Terra também impactam a probabilidade de vida em outros planetas de duas maneiras principais:

- **Estudo e Mitigação:** A compreensão e mitigação das ameaças globais podem aumentar a resiliência das futuras civilizações interestelares.
- **Modelo de Extinção Civilizacional:** A inclusão das probabilidades de eventos catastróficos no modelo de Drake permite uma estimativa mais realista do número de civilizações que podem se comunicar.

9 Interações entre Ameaças

As diferentes ameaças não atuam de forma isolada; elas interagem e potencializam umas às outras. Por exemplo, mudanças climáticas podem exacerbar conflitos por recursos, aumentando o risco de guerras nucleares. Pandemias podem debilitar economias, tornando mais difícil a implementação de

políticas de mitigação climática ou controle de arsenais nucleares. A degradação ambiental pode reduzir a resiliência dos ecossistemas, aumentando a vulnerabilidade a outras ameaças [1].

9.1 Modelo de Interação Multivariada

Podemos estender os modelos anteriores para incluir interações entre as diferentes ameaças. Por exemplo, a equação para o risco de conflito nuclear pode incluir termos que dependem da temperatura global $T(t)$ e da biodiversidade $B(t)$:

$$\frac{dP}{dt} = \kappa N(t) - \lambda P(t) + \mu \cdot T(t) + \nu \cdot \frac{1}{B(t)} \quad (17)$$

Onde ν representa o aumento do risco devido à degradação ambiental.

9.1.1 Mudanças Climáticas e Conflitos

O aumento da temperatura e a escassez de recursos naturais intensificam a competição por água, alimentos e território, aumentando as tensões geopolíticas e o risco de conflitos armados.

9.1.2 Pandemias e Economia

Pandemias debilitam as economias, reduzindo a capacidade dos governos de financiar programas de mitigação climática e controle de armas, criando um ciclo vicioso que aumenta a vulnerabilidade a outras ameaças.

9.1.3 Degradação Ambiental e Saúde

A degradação ambiental contribui para a propagação de doenças zoonóticas, aumentando a probabilidade de pandemias e sobrecarregando os sistemas de saúde.

9.2 Gráfico de Interações

9.3 Modelagem das Interações

A modelagem das interações entre ameaças requer a incorporação de termos de interação nas equações diferenciais de cada modelo. Isso pode incluir:

- **Termos Multiplicativos:** Representam a amplificação dos efeitos quando duas ameaças coexistem.

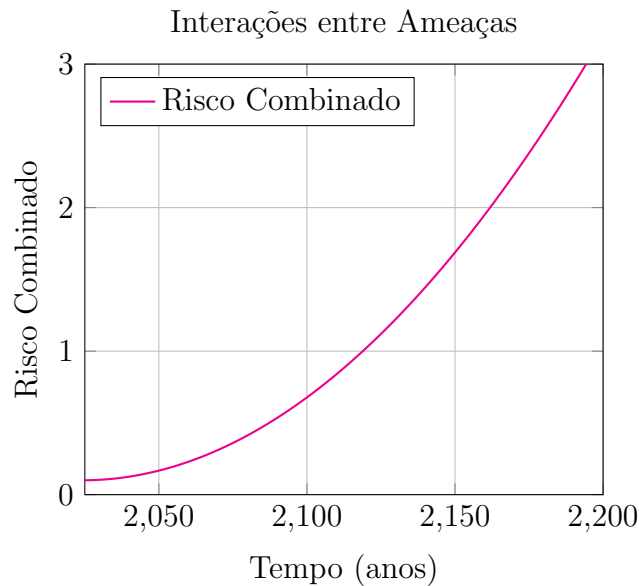


Figura 8: Aumento do risco combinado devido à interação entre diferentes ameaças.

- **Termos de Retroalimentação:** Capturam como uma ameaça pode influenciar o progresso ou a mitigação de outra.
- **Modelos Complexos de Sistema:** Utilizam técnicas de dinâmica de sistemas para simular interações não-lineares e emergentes.

9.3.1 Dinâmica de Sistemas

A dinâmica de sistemas permite a análise de feedbacks e loops causais entre diferentes ameaças, proporcionando uma visão mais holística dos riscos interconectados.

10 Conclusão

A análise dos modelos matemáticos e das estatísticas apresentadas revela que a humanidade enfrenta múltiplas ameaças que, se não forem adequadamente mitigadas, podem levar à sua extinção. Mudanças climáticas extremas, pandemias letais, conflitos nucleares, degradação ambiental, colapsos econômicos, o desenvolvimento descontrolado de inteligência artificial e a probabilidade de vida em outros planetas são fatores interconectados

que demandam atenção urgente e ações preventivas para evitar cenários catastróficos [10].

A complexidade das interações entre essas ameaças exige abordagens integradas e cooperação global. Sem intervenções eficazes, os modelos projetam um aumento contínuo no risco de destruição da civilização humana, ressaltando a necessidade de políticas robustas, inovação sustentável e vigilância constante sobre o desenvolvimento tecnológico [14].

11 Recomendações

Para enfrentar as ameaças identificadas, recomenda-se:

- **Cooperação Internacional:** Fortalecer acordos multilaterais para controle de armas nucleares, mitigação climática e resposta a pandemias.
- **Investimento em Pesquisa e Desenvolvimento:** Promover a inovação em tecnologias sustentáveis, saúde pública e segurança da IA.
- **Educação e Conscientização:** Aumentar a conscientização pública sobre os riscos e incentivar comportamentos sustentáveis.
- **Governança Ética da IA:** Desenvolver e implementar diretrizes éticas para o desenvolvimento e uso de inteligência artificial.
- **Resiliência Econômica:** Diversificar economias e fortalecer sistemas financeiros para resistir a choques externos.
- **Pesquisa em Astrobiologia:** Investir em pesquisas que explorem a possibilidade de vida em outros planetas, aumentando o conhecimento sobre as condições necessárias para a vida e potencialmente encontrando evidências de vida extraterrestre.

12 Perspectivas Futuras

O futuro da humanidade depende da capacidade de antecipar e mitigar essas ameaças interconectadas. Investir em modelos preditivos mais sofisticados, promover a sustentabilidade, fortalecer as instituições globais e expandir a busca por vida em outros planetas são passos cruciais para garantir a sobrevivência e o bem-estar das gerações futuras.

13 Bibliografia

Referências

- [1] Intergovernmental Panel on Climate Change (IPCC). *Climate Change 2021: The Physical Science Basis*. Cambridge University Press, 2021.
- [2] T. M. Lenton, *World on Fire: How Exporting Greenhouse Gas Emissions is Making the World Worse*, Earthscan, 2008.
- [3] T.F. Stocker et al., *Technical Summary*, in *Climate Change 2013: The Physical Science Basis*, Contribution of Working Group I to the Fifth Assessment Report of the Intergovernmental Panel on Climate Change, Cambridge University Press, 2013.
- [4] M. Hulme, *Why We Disagree About Climate Change: Understanding Controversy, Inaction and Opportunity*, Cambridge University Press, 2009.
- [5] D.M. Morens et al., *The challenges of emerging and re-emerging infectious diseases*, Nature, vol. 461, pp. 934-944, 2009.
- [6] C.A. Anderson, *Pandemics: Risks, Impacts, and Mitigation*, Cambridge University Press, 2020.
- [7] N.M. Ferguson et al., *Strategies for containing an emerging influenza pandemic in Southeast Asia*, Nature, vol. 442, pp. 448-452, 2006.
- [8] S.D. Sagan, *The Limits of Safety: Organizations, Accidents, and Nuclear Weapons*, Princeton University Press, 2004.
- [9] S.D. Sagan, *Nuclear Alarmism?*, Bulletin of the Atomic Scientists, vol. 66, no. 3, pp. 35-39, 2010.
- [10] J. Rockström et al., *A safe operating space for humanity*, Nature, vol. 461, pp. 472-475, 2009.
- [11] S. Díaz et al., *Summary for Policymakers*, in *Planetary Boundaries: Guiding Human Development on a Changing Planet*, Stockholm Resilience Centre, 2019.
- [12] J.A. Tainter, *The Collapse of Complex Societies*, Cambridge University Press, 1988.

- [13] J.E. Stiglitz, *Freefall: America, Free Markets, and the Sinking of the World Economy*, W.W. Norton & Company, 2010.
- [14] N. Bostrom, *Superintelligence: Paths, Dangers, Strategies*, Oxford University Press, 2014.
- [15] E. Yudkowsky, *Artificial Intelligence as a Positive and Negative Factor in Global Risk*, in *Global Catastrophic Risks*, eds. Nick Bostrom and Milan M. Ćirković, Oxford University Press, 2008.
- [16] S. Russell and P. Norvig, *Artificial Intelligence: A Modern Approach*, 3rd Edition, Pearson, 2015.